

การประชุมวิชาการเครือข่ายวิศวกรรมเครื่องกลแห่งประเทศไทยครั้งที่ 14  
2-3 พฤษภาคม 2543 โรงแรมโนโวเทล เชียงใหม่

## โปรแกรมคอมพิวเตอร์เพื่อวิเคราะห์ความดันชั่วครุ่นของการไหลในท่อ

### A Computer Program for Analysing Transient Pressure of Flow in Pipe

นิรนิตร เดชสุภา

กองโรงงาน เมืองแม่มา (กฟผ.) อ. แม่มา จ. ลำปาง 52220

โทร. 66(54)-254452, โทรสาร 66(54)-254436

อภิวันท์ พลชัย สมคิด สลัดยานันท์

ภาควิชาวิศวกรรมเครื่องกล คณะวิศวกรรมศาสตร์ มหาวิทยาลัยเชียงใหม่

จ. เชียงใหม่ 50200

#### บทคัดย่อ

บทความนี้เป็นการเสนอผลการวิจัยขั้นแรกเกี่ยวกับการคำนวณความดันชั่วครุ่น สำหรับการไหลของน้ำในระบบท่อเดียว ที่มีผลกระทบให้การไหลเป็นแบบมิติเดียวตามแนวเส้นท่อ สมมุติว่า น้ำเป็นของไหลชนิดนิวตัน ท่อ และ น้ำมีความยืดหยุ่นในตัวเอง สมการควบคุมพุทธิกรรมการไหลคือสมการความต่อเนื่องกับสมการของแรงเรียลอนที่ เมื่อร่วมกันแล้วเป็นสมการเชิงอนุพันธ์ย่อแบบไม่เชิงเส้นชนิดไฮเพอร์โบลิก แล้วหาผลเฉลยโดยใช้ระเบียบวิธีผลต่างอันตะ ซึ่งมีรายละเอียดตามวิธีลักษณะเฉพาะแบบตารางสี่เหลี่ยมมุมฉาก จึงพัฒนาโปรแกรมคอมพิวเตอร์ขึ้นเพื่อการนี้ โดยแสดงแผนภูมิการคำนวณไว้อย่างชัดเจน และได้แสดงผลการทดสอบความถูกต้องของโปรแกรมคอมพิวเตอร์ที่พัฒนาขึ้นโดย (1) เปรียบเทียบกับผลการคำนวณของนักวิจัยอื่น และ (2) เปรียบเทียบกับผลซึ่งได้จากการวัดจริงของนักวิจัยอื่น จากการทดสอบพบว่าผลที่ได้จากโปรแกรมคอมพิวเตอร์นี้มีความถูกต้องดีมาก จึงน่าจะมีศักยภาพเพียงพอที่จะนำไปพัฒนาใช้กับระบบการสูบน้ำและการไหลของน้ำในท่อซึ่งเป็นระบบใหญ่ขึ้นได้

#### Abstract

This paper presents primary results from the research on calculation for pressure transient of water flow in single pipe systems. The flow is assumed one dimensional along the pipe, and the fluid being Newtonian. Flow behavior is governed by continuity

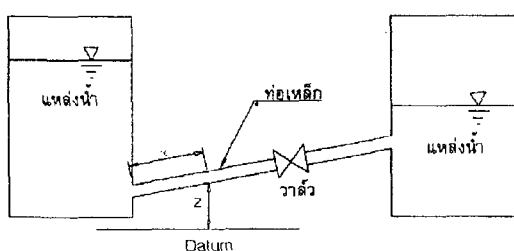
equation and equation of motion, which are combined to be hyperbolic non-linear partial differential equations. Then they are solved by using finite difference method with details being rectangular-grid characteristics method. So, a computer program is developed for this; the flow chart is clearly exhibited herein. The program are tested by comparing the results (1) with existing calculated ones and (2) with known measured ones of other researchers. The finding is that the pressure transients obtained from this program are in good agreement with both type of those results. Thus, this computer program may have great potential, after being developed, for using in pipe flows of larger pumping systems.

#### 1. บทนำ

ปรากฏการณ์พื้นฐานอย่างหนึ่งที่เกิดขึ้นเสมอ ในระบบการไหลในท่อคือการเกิดความดันชั่วครุ่นซึ่งเกิดขึ้นเมื่อมีการเปลี่ยนแปลงลักษณะของการไหล ในอดีตเรียกปรากฏการณ์นี้ว่าหัวน้ำ (Waterhammer) เมื่อมีความดันชั่วครุ่นเกิดขึ้นในระบบท่อ อาจมีความดันเพิ่มสูงขึ้นมากพอที่จะทำให้เกิดความความเสียหายแก่อุปกรณ์ที่อยู่ภายในระบบท่อได้ ซึ่งปรากฏการณ์นี้ได้ทำความเสียหายแก่ระบบระบายน้ำของเมืองแม่มา (กฟผ.) ด้วยเช่นกัน ความดันชั่วครุ่นเป็นการแปร่งของความตันอันเนื่องมาจาก การเปลี่ยนแปลงความเร็วของน้ำภายในระบบ พลังงานจลน์ของน้ำบางส่วนจะถูกเปลี่ยนไปเป็น

พลังงานความยืดหยุ่น ทำให้ความดันภายในท่อเพิ่มสูงขึ้น สมการควบคุมพุตติกรรมการไหลเป็นสมการเชิงอนุพันธ์อย่างแบบไม่เชิงเส้นชนิดไอลิออร์บوليคซึ่งไม่สามารถหาผลเฉลยรูปแบบปิดได้ จึงมีการพัฒนาวิธีผลเฉลยโดยวิธีต่างๆขึ้น อย่างไรก็ตามวิธีที่เป็นที่นิยมใช้อย่างแพร่หลายคือ วิธีลักษณะเฉพาะซึ่งมีข้อดีคือสามารถหาผลเฉลยของระบบการไหลที่บุ่มยากและมีเงื่อนไขข้อมูลที่ซับซ้อนได้ ในบทความนี้ใช้วิธีลักษณะเฉพาะเชิงตารางสี่เหลี่ยมมุมฉากซึ่งเป็นวิธีหนึ่งของวิธีลักษณะเฉพาะ จุดประสงค์ของบทความนี้เพื่อสร้างโปรแกรมคอมพิวเตอร์เบื้องต้นสำหรับวิเคราะห์ความดันชั่วครู่ภายในท่อ เพื่อใช้เป็นโปรแกรมพื้นฐานสำหรับพัฒนาโปรแกรมคอมพิวเตอร์ให้สามารถวิเคราะห์ระบบการไหลในท่อของเมืองแม่น้ำซึ่งเป็นระบบการไหลในท่อขนาดใหญ่ และซับซ้อน ภายใต้ความนิ่งและพกับสมการควบคุมการไหลแบบไม่คงที่ภายในท่อ 2 สมการ คือ สมการความต้องเนื่อง และสมการการเคลื่อนที่ สมการทั้งสองนี้เป็นสมการที่สำคัญในการวิเคราะห์ปัญหาความดันชั่วครู่ นอกจากนี้ยังมีสมการควบคุมการไหลผ่านอุปกรณ์ในระบบท่อซึ่งใช้แนวการวิเคราะห์การไหลแบบคงตัวเข้าช่วย

ระบบท่อเบื้องต้นที่พิจารณาใช้สร้างโปรแกรมคอมพิวเตอร์เป็นระบบท่อเดียว เนื่องจากระบบนี้เป็นระบบการไหลในท่อพื้นฐานที่พัฒนาไปสุด สามารถสร้างโปรแกรมคอมพิวเตอร์เพื่อวิเคราะห์และทดสอบความถูกต้องได้ง่าย นอกจากนี้ยังสามารถหาผลของกรณีศึกษาที่ทำโดยนักวิจัยอื่นมาเปรียบเทียบกับผลการคำนวณของโปรแกรมที่สร้างขึ้นได้สะดวก รูปที่ 1 แสดงระบบท่อเดียวซึ่งประกอบด้วย แหล่งน้ำที่มีระดับคงที่ ท่อเหล็กผังบาง ข้อต่อต่างๆ และ瓦ล์วที่สามารถควบคุมการปิดของลิ้นวาล์วได้ โดยมีเงื่อนไขเริ่ม



รูปที่ 1 แสดงระบบท่อเดียว

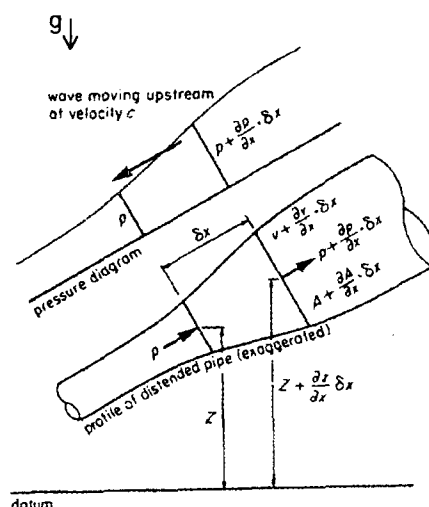
ต้นเป็นการไหลแบบสภาวะคงตัวก่อนเกิดความดันชั่วครู่ และสภาวะการไหลในท่อที่ต้นทาง ( $x=0$ ) และปลายทาง (ปลายท่อ) เป็นเงื่อนไขข้อมูลของระบบ

## 2. สมการควบคุมพุตติกรรมการไหล

สำหรับการไหลในระบบท่อเดียวเบื้องต้นนี้จะพิจารณาสมการควบคุมพุตติกรรมการไหลเป็นสองส่วน คือ สำหรับการไหลผ่านท่อ กับ การไหลผ่านอุปกรณ์ท่อ และกำหนดเงื่อนไขข้อมูลที่ต้นทาง และที่ปลายทาง

### 2.1 การไหลผ่านท่อ

ใช้สมมุติฐานว่าการไหลเป็นแบบมิติเดียว น้ำเป็นของไหลชนิดนิวโทนิค ท่อและน้ำมีความยืดหยุ่นเมื่อใช้สมมุติฐานดังกล่าวร่วมกับกฎการอนุรักษ์มวลและกฎการเคลื่อนที่สำหรับชั้นอันตะใจ อันหนึ่ง ดังรูปที่ 2 กำหนดให้แกนพิกัด  $x$



รูปที่ 2 แสดงชั้นอันตะใจวิเคราะห์การไหลในท่อ ที่มา Fox [3]

อยู่ในแนวเดียวกับแนวเส้นท่อ สามารถเขียนสมการความต้องเนื่องและสมการของmovement ตามลำดับได้ดังนี้

$$\frac{\partial h}{\partial t} + v \frac{\partial h}{\partial x} + \frac{c^2}{g} \frac{\partial v}{\partial x} - v \frac{\partial z}{\partial x} = 0 \quad (1)$$

$$\frac{\partial h}{\partial x} + \frac{v}{g} \frac{\partial v}{\partial x} + \frac{1}{g} \frac{\partial v}{\partial t} + \frac{fv|v|}{2gd} = 0 \quad (2)$$

โดยที่  $h = \frac{P}{\gamma} + z$  คือ ความดันศักย์ ( Potential head )

$v$  คือ ความเร็วของของไหล  $g$  คือ ค่าความโน้มถ่วงของโลก  $c$  คือ ความเร็วคลื่นของความดัน  $f$  คือ สัมประสิทธิ์ความเสียดทานของท่อ  $d$  คือ เส้นผ่าศูนย์กลางท่อ  $t$  คือเวลา

ในการพิจารณาความดันชั่วครู่จะมุ่งสนใจค่า  $P$  หรือ  $h$

และ  $v$  ที่เวลาต่างๆ ณ ตำแหน่งที่สนใจหรือตลอดความยาวท่อ ความเร็วคลื่นของความดันชั่วครู่ที่ได้จากการใช้สมการความต่อเนื่อง และสมการการเคลื่อนที่สำหรับชนิดอันตะ คำนวณได้จาก  $c = \sqrt{\frac{K}{\rho}}$  แต่ในทางปฏิบัติความยืดหยุ่นของน้ำ และการถูกบังคับ (Constraint) ของห้องมีอิทธิพลต่อความเร็วคลื่นของความดันชั่วครู่ Streeter [5] จึงเสนอให้ใช้สมการคำนวณความเร็วคลื่นของความดันดังนี้

$$c = \sqrt{\frac{K}{\rho} \left[ 1 + \left( \frac{K}{E} \right) \psi \right]}$$

ค่า  $\psi$  เป็นตัวแปรไรรัมิติประตามคุณสมบัติยืดหยุ่นของท่อและการบังคับท่อ (g) ท่อผนังบางยึดแน่นไม่เคลื่อนที่ตามแนวยาว  $\psi = \frac{d}{e} (1 - v^2)$  (h) ท่อผนังบางยึดแน่นเฉพาะต้นทาง  $\psi = \frac{d}{e} (1.25 - v)$  (c) ท่อผนังบางที่มี Expansion joint  $\psi = \frac{d}{e}$  โดยที่  $K$  คือ บัลค์มอดูลัสความยืดหยุ่น (Bulk modulus of elasticity)  $E$  คือ มอดูลัสของยัง (Young's modulus) ของวัสดุที่ใช้ทำท่อ  $e$  คือ ความหนาของผนังท่อ  $\rho$  คือ ความหนาแน่นของของเหลว  $B$  คือ อัตราส่วนปัวซอง (Poisson's ratio) ของวัสดุที่ใช้ทำท่อ

## 2.2 การไหลผ่านวาล์วและอุปกรณ์ท่อ

การไหลผ่านวาล์วและอุปกรณ์จะใช้สมมุติฐานดังนี้

2.2.1 ใช้สมการการไหลผ่านรูเจาะที่สภาวะคงตัว (Steady state orifice equation)

2.2.2 วาล์วและอุปกรณ์ท่อถือว่าเป็นจุด (ไม่มีความยาว) บนเส้นท่อ

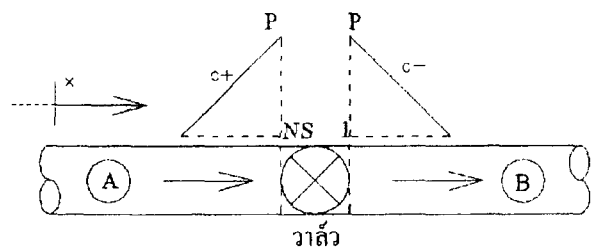
2.2.3 ไม่มีการเก็บกักของไหลภายในวาล์วและอุปกรณ์

2.2.4 การไหลสามารถถกลับทิศทางได้

ในรูปที่ 3 ถ้าเป็นการไหลจากซ้ายไปขวาหรือไหลเชิงบวก (Positive flow) และท่อ A และ B มีขนาดเส้นผ่าศูนย์กลางเท่ากัน สมการการไหลผ่านรูเจาะมีรูปแบบดังนี้, Streeter [5]

$$v_{P_{NS}} = v_{P_1} = \frac{v_0}{\sqrt{h_0}} \tau \sqrt{h_{P_{NS}} - h_{P_1}} \quad (3)$$

ถ้าเป็นการไหลเชิงลบ (Negative flow) ซึ่งในรูปที่ 3 เป็นการไหลจากขวาไปซ้าย สมการการไหลผ่านรูเจาะคือ



รูปที่ 3 แสดงการไหลผ่านวาล์ว

$$v_{P_1} = v_{P_{NS}} = \frac{v_0}{\sqrt{h_0}} \tau \sqrt{h_{P_1} - h_{P_{NS}}} \quad (4)$$

เมื่อ  $v_{P_1}$  และ  $v_{P_{NS}}$  คือ ความเร็วของของไหลในท่อที่ B และ A ตามลำดับ  $v_0$  คือ ความเร็วของของไหล ณ เวลาเริ่มต้น  $h_0$  คือ ลักษณะดันของของไหล ณ เวลาเริ่มต้น  $\tau$  คือ Dimensionless valve opening coefficient  $h_{P_1}-h_{P_{NS}}$  คือ ผลต่างของลักษณะดันต่ำที่ระหว่างท่อ B และ A ณ จุดตำแหน่งวาล์วหรืออุปกรณ์

## 2.3 เงื่อนไขของที่เป็นแหล่งน้ำ

สภาวะการไหลตรงบริเวณแหล่งน้ำที่มีระดับน้ำคงที่จะมีลักษณะดันต่ำคงที่ตลอดเวลา ซึ่งมีสมการดังนี้

$$h(t) = \text{คงที่} = \frac{P_{res}}{\gamma} + z \quad (5)$$

เมื่อ  $\frac{P_{res}}{\gamma}$  คือ ลักษณะดันของแหล่งน้ำ,  $\gamma = \rho g$   $z$

คือ ระดับความสูงของแหล่งน้ำ

## 3. สมการผลต่างอันตะของการไหลในระบบท่อเดี่ยวเบื้องต้น

จากสมการความคุมต่างๆ ที่ประกอบเป็นระบบการไหลในท่อจะนำมาแปลงเป็นสมการผลต่างอันตะเพื่อสร้างโปรแกรมคอมพิวเตอร์ได้ดังนี้

### 3.1 การไหลผ่านท่อ

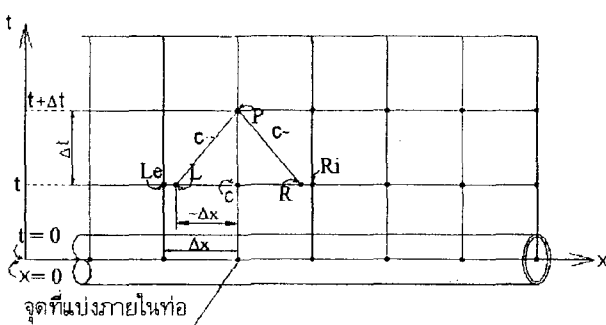
การหาสมการผลต่างอันตะมีหลายวิธี ในที่นี้ใช้วิธีลักษณะสมบัติ (Method of characteristics) ตามที่ Fox [3] เสนอไว้ซึ่งสามารถแปลงสมการ (1) และ (2) ดังนี้

$$\frac{dv}{dt} + \frac{g}{c} \frac{dh}{dt} + \frac{fv|v|}{2d} - \frac{gv}{c} \frac{dz}{dx} = 0, \text{ เมื่อ } \frac{dx}{dt} = c \quad (6)$$

$$\frac{dv}{dt} - \frac{g}{c} \frac{dh}{dt} + \frac{fv|v|}{2d} + \frac{gv}{c} \frac{dz}{dx} = 0, \text{ เมื่อ } \frac{dx}{dt} = -c \quad (7)$$

เนื่องจาก ความสัมพันธ์ระหว่าง  $x$  และ  $t$  ในสมการ (6)  
ต้องสอดคล้องกัน  $\frac{dx}{dt} = c$  จึงเรียกสมการ  $\frac{dx}{dt} = c$  ว่า

สมการลักษณะเฉพาะของสมการ (6) ทำนองเดียวกัน  
 $\frac{dx}{dt} = -c$  เป็นสมการลักษณะเฉพาะของสมการ (7) เมื่อ  
พิจารณาแบบรูปที่ 4 แบบตารางสี่เหลี่ยมมุมฉากจะได้ดัง<sup>รูปที่ 4</sup> และเมื่อต้องการคำนวณหา  $h$  และ  $v$  ที่เวลา  $t + \Delta t$   
ณ  $x$  ค่านี้ เช่นที่จุด  $P$  ก็จะประยุกต์สมการ (6) และ (7) ลง



รูปที่ 4 แสดงส่วนของท่อในระบบ  $x-t$

บนสมการลักษณะเฉพาะ จะได้สมการผลต่างอันตรายตาม  
ลำดับ ดังนี้

$$v_p - v_{L_e} + \frac{g}{a} (h_p - h_{L_e}) + \frac{fv_L |v_L| \Delta t}{2d} - \frac{gv_L}{c} \left( \frac{dz}{dx} \right)_{L_e} \Delta t = 0 \quad (8)$$

$$v_p - v_{R_i} + \frac{g}{a} (h_p - h_{R_i}) + \frac{fv_R |v_R| \Delta t}{2d} + \frac{gv_L}{c} \left( \frac{dz}{dx} \right)_{R_i} \Delta t = 0 \quad (9)$$

จากการวางแผนท่อจะทราบเพิ่ม  $\frac{dz}{dx}$  สมการ (8) และ (9)

ใช้คำนวณหา  $h$  และ  $v$  ที่เวลา  $t + \Delta t$  ณ จุด  $P$  ได้

### 3.2 สมการผลต่างอันตรายสำหรับการไหลผ่านวาล์วและ อุปกรณ์ท่อ

จากรูปที่ 3 ถ้าการไหลเป็นเชิงบวก และท่อ  $A$  และ  $B$  มี  
ขนาดเส้นผ่าศูนย์กลางเท่ากัน ในสมการ (3) ซึ่งเป็นสมการ  
การไหลผ่านรูเจาะ กำหนดให้ Valve flow coefficient เป็น  
ดังนี้, Chaudhry [1]

$$C_v = \frac{(Q_0 \tau)^2}{2H_0} = \frac{A^2 (v_0 \tau)^2}{2H_0} \quad (10)$$

จึงสามารถหา  $h_{PNS}$  ได้ดังนี้

$$h_{PNS} = C_p - Bv_p \quad (11)$$

โดยให้  $C_p = h_L + \frac{c}{g} v_L - \frac{c}{g} \frac{f \Delta t v_L |v_L|}{2d}$  และ  $B = \frac{c}{g}$

จากสมการ (4) สำหรับการไหลเชิงลบได้

$$h_{P_l} = C_M + Bv_p \quad (12)$$

โดยให้  $C_M = h_R - \frac{c}{g} v_R + \frac{c}{g} \frac{f \Delta t v_R |v_R|}{2d}$

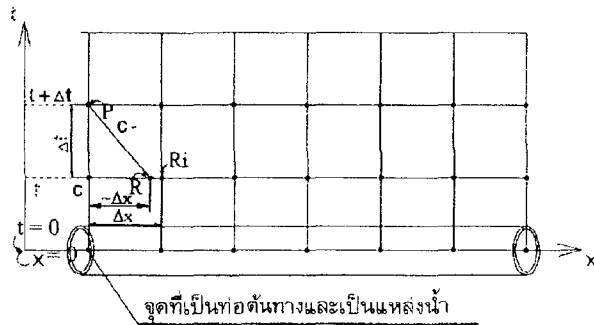
ใช้สมการ (10) (11) และ (12) สามารถหา  $v_{P_l}$  ในสมการ (3) ดังนี้

$$v_{P_l} = v_{PNS} = -\frac{2C_v B}{g} + \sqrt{\left(\frac{2C_v B}{g}\right)^2 + \frac{2C_v}{A^2} (C_p - C_M)} \quad (13)$$

เนื่องจากเป็นสมการที่ได้มาจากการไหลเชิงบวกซึ่งต้อง<sup>รูปที่ 4</sup> สอดคล้องกับเงื่อนไข  $C_p - C_M > 0$  ถ้า  $C_p - C_M \leq 0$   
การไหลจะเป็นการไหลเชิงลบ และสามารถหา  $v_{P_l}$  ได้ดังนี้

$$v_{P_l} = v_{PNS} = \frac{2C_v B}{g} - \sqrt{\left(\frac{2C_v B}{g}\right)^2 - \frac{2C_v}{A^2} (C_p - C_M)} \quad (14)$$

### 3.3 เงื่อนไขของของท่อตันทางซึ่งเป็นแหล่งน้ำ



รูปที่ 5 แสดงท่อตันทางเป็นแหล่งน้ำ

การหาสมการผลต่างอันตราย ใช้สมการ (9) เพียงสมการ  
เดียว ดังนั้น

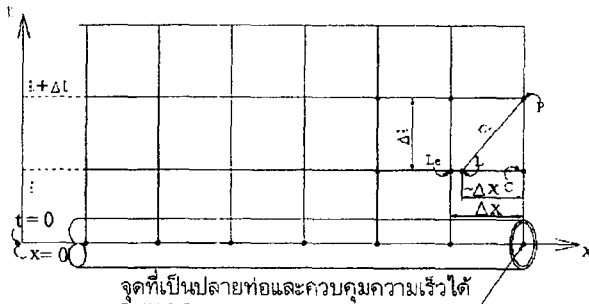
$$v_p = v_{R_i} + \frac{g}{a} (h_p - h_{R_i}) - \Delta t \frac{g}{c} v_{R_i} \left( \frac{dz}{dx} \right)_{R_i} - \frac{f}{2d} v_{R_i} |v_{R_i}| \Delta t \quad (15)$$

เมื่อ  $h_p$  เป็นไปตามสมการ (5)

### 3.4 เงื่อนไขของท่อปลายทางซึ่งทราบความเร็ว

ถ้ารู้ความสัมพันธ์ระหว่างความเร็วที่ปลายท่อกับเวลา  $v(L,t) = f(t)$  จะสามารถความดันขั้นคูณได้โดยใช้สมการ (8) ดังนี้

$$h_p = h_L + \frac{c}{g} (v_L - v_p) + \Delta t v_L \left( \frac{dz}{dx} \right)_L - \frac{c}{g} \frac{f}{2d} v_L |v_L| \Delta t \quad (6)$$



รูปที่ 6 แสดงการวิเคราะห์การไหลบริเวณปลายท่อ

### 4. โปรแกรมคอมพิวเตอร์สำหรับคำนวณและการทดสอบ

โปรแกรมคอมพิวเตอร์ถูกเขียนขึ้นตามมาตรฐานภูมิการคำนวณดังแสดงในรูปที่ 18 ใน การเขียนโปรแกรมต้องกำหนด  $\Delta x$ ,  $\Delta t$  เพื่อให้ผลลัพธ์ลู่เข้าหาค่าตอบที่ถูกต้อง โดยใช้เงื่อนที่สเกียร์ภาพของ Courant, Fox [3] จากนั้นทดสอบโปรแกรมคอมพิวเตอร์โดยใช้ วิธีเปรียบเทียบผลการคำนวณที่ได้จากโปรแกรมคอมพิวเตอร์ที่สร้างขึ้นกับผลลัพธ์จาก (ก) การไหลผ่านท่อเอียงที่เชื่อมระหว่างแหล่งน้ำที่มีระดับคงที่ต่างกัน, Watter [4] และ (ข) การไหลในท่อที่ผ่าน瓦ล์วซึ่งควบคุมการเปิด-ปิดด้วยมอเตอร์ซึ่ง Elansary[2] ทำการทดลองจริงในห้องปฏิบัติการ โดยมีรายละเอียดขั้นตอนการจัดเตรียมข้อมูลสำหรับคำนวณมีดังนี้

#### 4.1 การไหลผ่านท่อเอียงที่เชื่อมระหว่างแหล่งน้ำที่มีระดับคงที่ต่างกัน

เนตัวอย่างนี้การคำนวณของ Watter [4] ใช้หน่วยอังกฤษดังนี้เพื่อให้การเปรียบเทียบชัดเจนขึ้นจึงใช้หน่วยตาม Watter ระบบการไหลในท่อแสดงในรูปที่ 7 ประกอบด้วยท่อเหล็กขนาด 30 นิ้ว มีความเร็วคลื่นของความดัน 4060 ฟุตต่อวินาที ความเร็วของน้ำเริ่มต้น 5 ฟุตต่อวินาที การปิดตัวของวาล์วทำให้ความเร็วของน้ำไหลออกจากวาล์วลดลงอย่างคงที่และแปรผันตรงกับเวลาจนเหลือศูนย์ภายใน 1 วินาที

ขั้นตอนการจัดเตรียมข้อมูลสำหรับการคำนวณมีดังนี้

4.1.1 แบ่งท่อเป็น 5 ท่อนยาวท่อนละ 1000 ฟุต

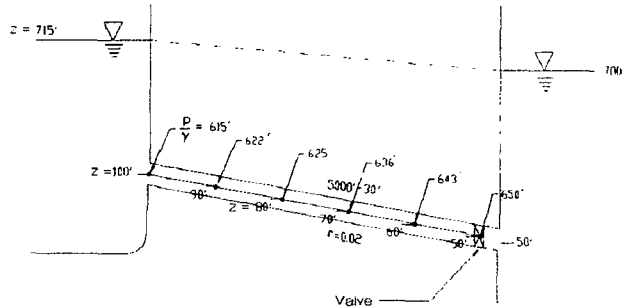
4.1.2 คำนวณระยะห่างของเวลาที่ใช้ในการคำนวณแต่ละขั้น

4.1.3 คำนวณหาความเร็วและความดัน เมื่อเวลาเริ่มต้น ซึ่งนำไปใช้เป็นเงื่อนไขเริ่มต้นของโปรแกรม

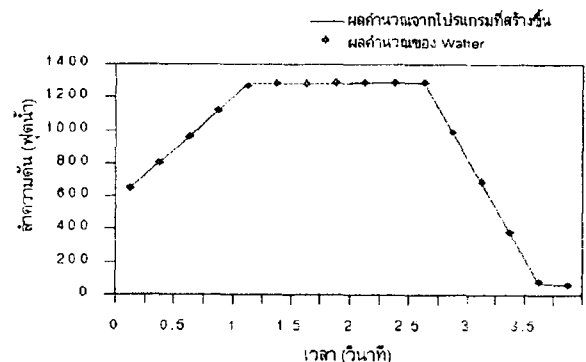
4.1.4 คำนวณความเร็วที่เปลี่ยนแปลงที่วาวล์ ทุกๆ ระยะห่างของเวลาตั้งแต่ 0 ถึง 4 วินาที

4.1.5 ป้อนข้อมูลคุณสมบัติอื่นของระบบ เช่น ความเร็วคลื่นของความดัน ค่าสัมประสิทธิ์ความเสียดทานของห่อ เป็นต้น

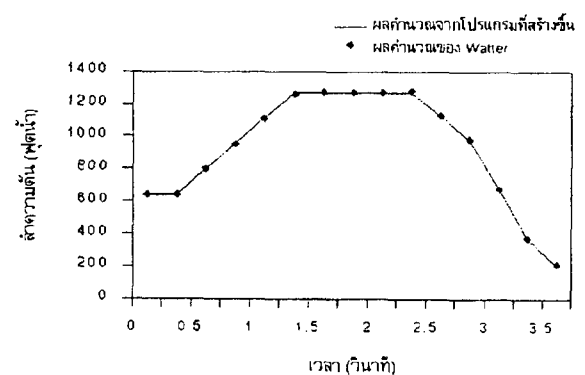
ผลการคำนวณที่แต่ละตำแหน่งของห่อเปรียบเทียบกับผลการคำนวณของ Watter [4] แสดงในรูปที่ 8 ถึง 11



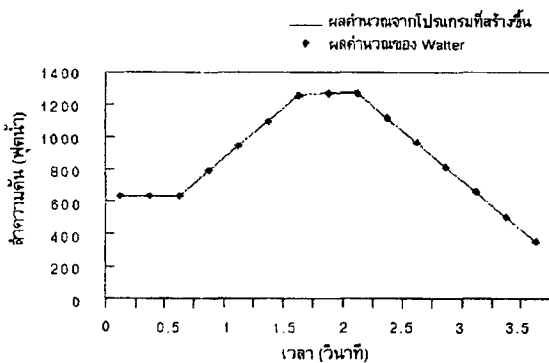
รูปที่ 7 แสดงระบบห่อที่ใช้ทดสอบโปรแกรมครั้งที่ 1



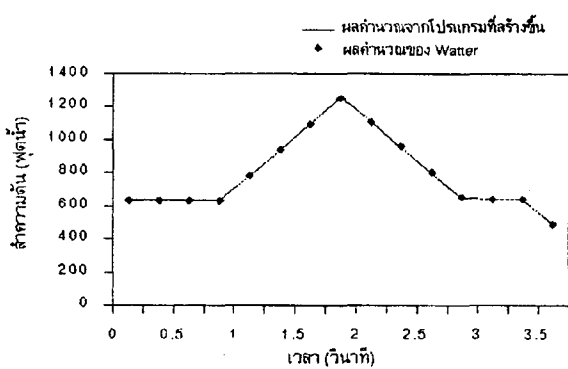
รูปที่ 8 แสดงการเปรียบเทียบที่ระดับความสูง (z) 50 ฟุต



รูปที่ 9 แสดงการเปรียบเทียบที่ระดับความสูง (z) 60 ฟุต



รูปที่ 10 แสดงการเปรียบเทียบที่ระดับความสูง (z) 70 ฟุต



รูปที่ 11 แสดงการเปรียบเทียบที่ระดับความสูง (z) 80 ฟุต

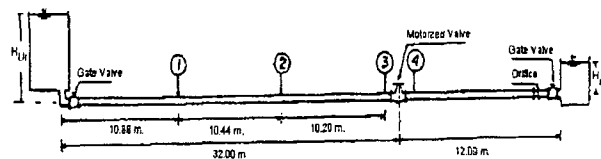
## 4.2 การไหลในท่อที่ผ่านวาล์วที่ความคุณการเปิด-ปิดด้วยมอเตอร์

Elansary [2] ใช้ท่อเหล็กขนาด 101 มม. หนา 6.35 มม. ซึ่งคำนวณค่าความเร็วคลื่นของความดันได้ 900 เมตรต่อวินาที ค่าสมบัติที่ความเสียดทานของท่อ  $f = 0.0225$  ระดับความสูงของน้ำที่ต้นท่อ  $H_s = 2.5$  เมตร อัตราการไหลที่สภาวะคงตัว ณ เวลา เริ่มต้น 0.0125 ลูกนาฬิกาเมตรต่อวินาที

มีการสูญเสียความดันที่ Motorized Valve ที่เวลาเริ่มต้น  $\Delta H_0 = 0.05$  เมตร มีค่า Dimensionless Valve Opening ของ Motorized Valve ดังรูปที่ 13 ทำการวัดค่าความดันที่จุดที่ ① ( $x=10.88\text{ m.}$ ) ② ( $x=21.32\text{ m.}$ ) ③ ( $x=31.52\text{ m.}$ ) และ ④ (หลังวาล์ว) ตามรูปที่ 12 ความดันที่จุดที่ ④ นำมาใช้เป็นข้อมูลในการคำนวณ และแสดงในรูปที่ 14 ค่าความดันที่วัดที่จุดที่ ① ② และ ③ นำมาใช้เปรียบเทียบกับผลการคำนวณ การจัดเตรียมข้อมูลสำหรับคำนวณประกอบด้วย

4.2.1 แม่งห้อออกเป็น 47 ห้องยาวหอนละ 0.68 เมตร

4.2.2 คำนวณระยะห่างของเวลาที่ใช้ในแต่ละขั้น



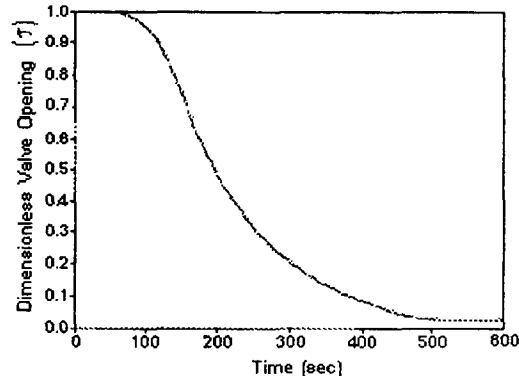
รูปที่ 12 แสดงระบบท่อที่ Elansary ใช้ทดลอง

4.2.3 คำนวณหาความเร็วและความดันเมื่อเวลาเริ่มต้น นำไปใช้เป็นเงื่อนไขเริ่มต้นของโปรแกรม

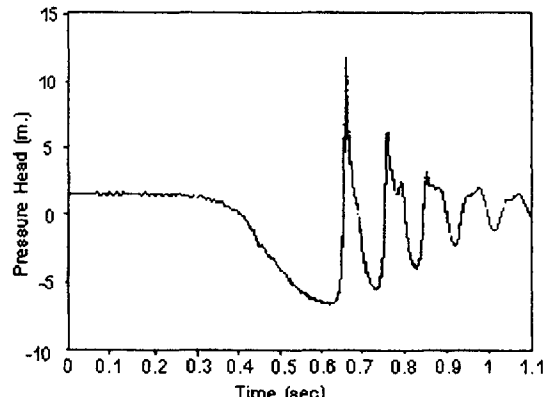
4.2.4 แปลงค่าความดันที่จุดที่ ④ (รูปที่ 14) เป็นข้อมูลตัวเลข 1500 ข้อมูลนำไปใช้เป็นเงื่อนไขขอบกีฬาทาง

4.2.5 นำเงื่อนไขบริเวณต้นทาง ซึ่งกำหนดว่าลักษณะ ดันตากยมีค่าคงที่ แปลงเป็นชุดข้อมูลตัวเลขให้ได้ 1500 ข้อมูล นำไปใช้เป็นเงื่อนไขขอบที่ต้นทาง

4.2.6 นำข้อมูล Valve opening coefficient แปลงเป็น ข้อมูลตัวเลข 1500 ข้อมูลเพื่อใช้คำนวณใน โปรแกรม



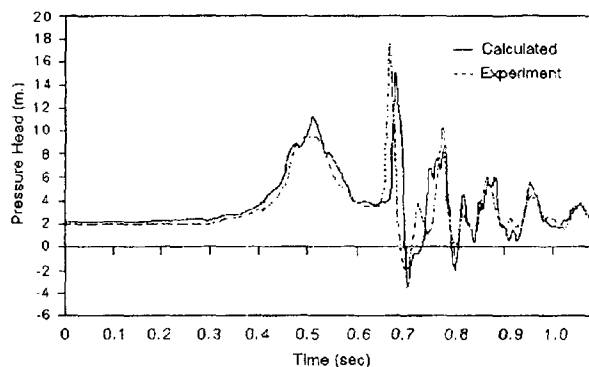
รูปที่ 13 แสดงค่า Dimensionless Valve Opening ที่มา Elansary [2]



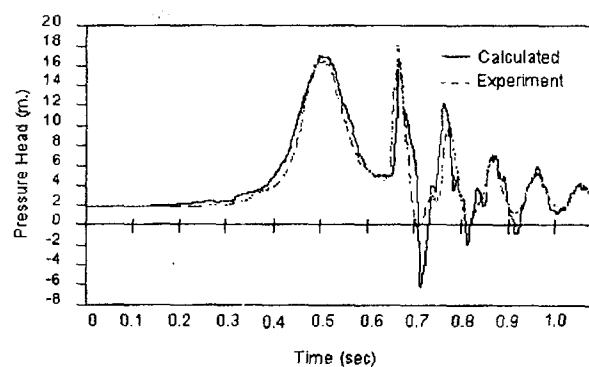
รูปที่ 14 แสดงค่าความดันที่จุดที่ ④

ที่มา Elansary [2]

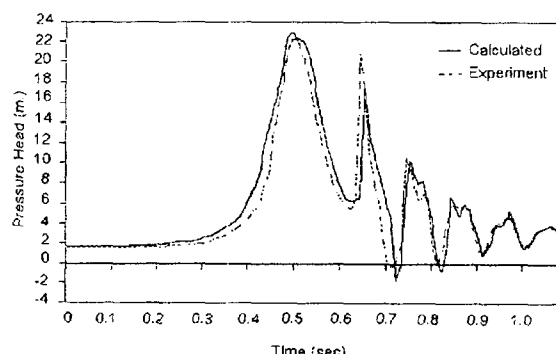
หลังจากใช้โปรแกรมคำนวณได้ผลลัพธ์เป็นลำดับความดันและความเร็วที่ทุกจุดตลอดความยาวท่อเป็นเวลา 1.095 วินาที เลือกข้อมูลที่ตรงกับจุดที่ ① ② และ ③ นำมาเปรียบเทียบกับผลการทดลอง ซึ่งแสดงในรูปที่ 15 16 และ 17 ตามลำดับ



รูปที่ 15 แสดงการเปรียบเทียบผลการคำนวณและทดลองที่จุดที่ ①



รูปที่ 16 แสดงการเปรียบเทียบผลการคำนวณและทดลองที่จุดที่ ②



รูปที่ 17 แสดงการเปรียบเทียบผลการคำนวณและทดลองที่จุดที่ ③

## 5. วิจารณ์และสรุป

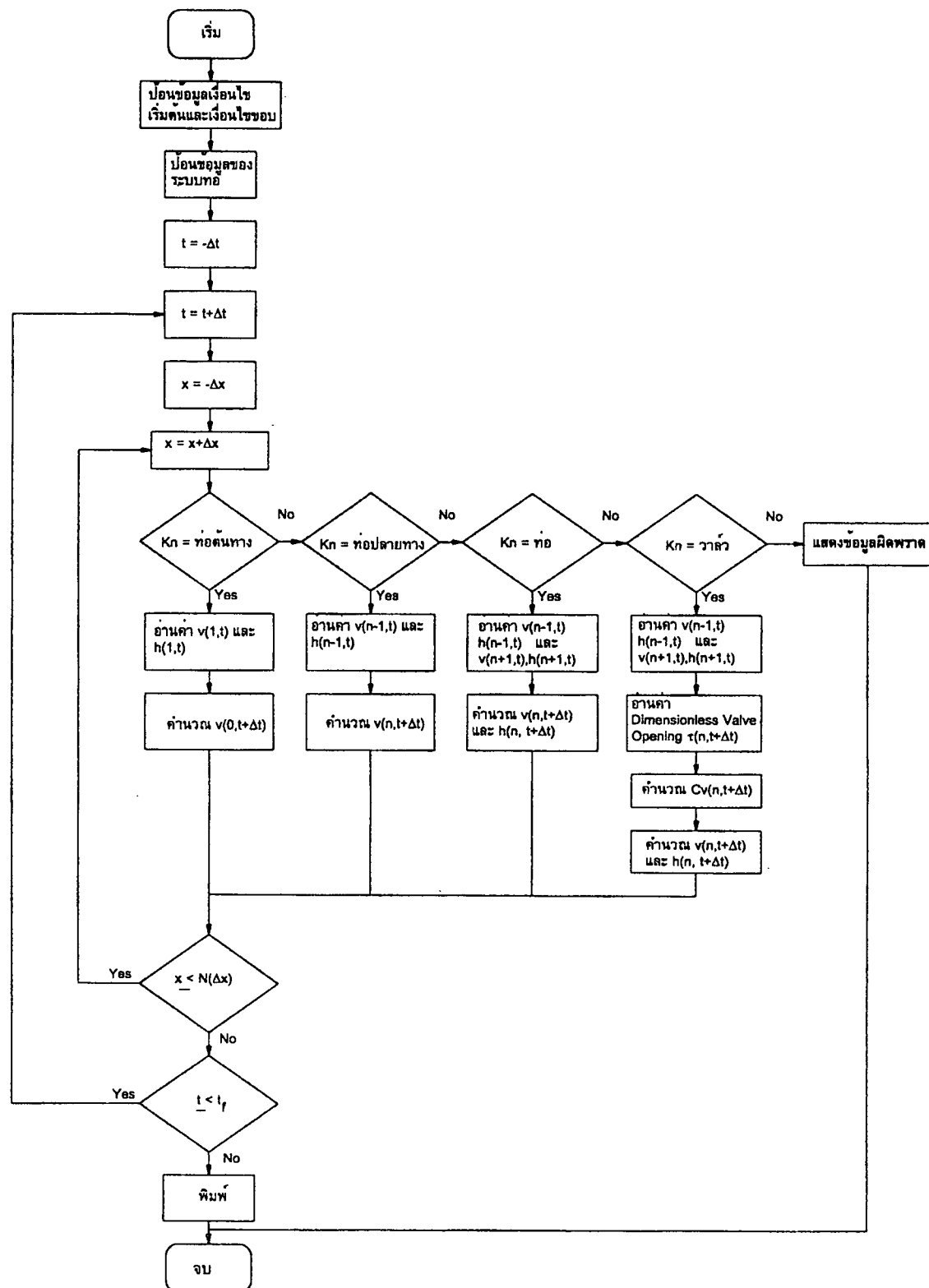
ในที่นี้ได้พัฒนาโปรแกรมคอมพิวเตอร์สำหรับวิเคราะห์ความดันชั่วครู่เชิงตัวเลขของการไหลในระบบท่อเดี่ยวเบื้องต้นได้สำเร็จโดยใช้สมการควบคุมจากกฎการอนุรักษ์มวลและกฎการเคลื่อนที่ตามแบบ (Model) ของ Fox [3] ซึ่งสมการไม่ยุ่งยากมากนัก เหตุผลที่ต้องเขียนโปรแกรมขึ้นเอง เพราะว่าวิเคราะห์เชิงตัวเลขของนักวิจัยอื่นไม่ให้รายละเอียดส่วนนี้ไว้ และอีกส่วนหนึ่งเพราะต้องการพัฒนาขึ้นด้วยความสามารถในการสร้างโปรแกรมคอมพิวเตอร์สำหรับงานวิเคราะห์ด้านนี้ขึ้นเองภายใต้ประเทศ เมื่อใช้โปรแกรมคอมพิวเตอร์ที่สร้างขึ้นคำนวณแล้วนำผลไปเปรียบเทียบกับกรณีที่มีผลเป็นที่ยอมรับแล้วดังรูปที่ 8 9 10 11 15 16 และ 17 จะเห็นว่ามีความถูกต้องดีมาก จึงคาดว่ามีศักยภาพที่จะนำไปพัฒนาใช้กับระบบการสูบน้ำที่ซับซ้อนมากขึ้น ดังเช่นระบบสูบน้ำแบบอนุกรมของเมืองแม่เมะได้

## 6. กิตติกรรมประกาศ

การวิจัยนี้มาจากโครงการความร่วมมือ กพพ.-มช. ซึ่งให้ทุนสนับสนุนผ่านการศึกษาระดับมหาบัณฑิตของผู้เขียนคนแรกโดยมีผู้เขียนที่เหลือสองคนเป็นคณาจารย์ที่ปรึกษา จึงขอขอบคุณไว้ ณ ที่นี้ด้วย

## 7. เอกสารอ้างอิง

- [1] Chaudhry, M.H. "Apply Hydraulic Transient" New York: Van Nostrand Reinhold Company, 1987
- [2] Elansary, S. A., Numerical and Experimental Investigation of Transient Pipe Flow. "Journal of Hydraulic Research" 1994; 32 : 689-704.
- [3] Fox, J. A. "Hydraulic Analysis of Unsteady Flow in Pipe Network" London: The Macmillan Press, 1977.
- [4] Watter, Z. G. "Modern Analysis and Control of Unsteady Flow in Pipeline" Michigan: Ann Arbor Press, 1979
- [5] Wylie, E. B., Streeter, V. L. "Fluid Transients" McGraw-Hill, 1978.



รูปที่ 18 แสดงแผนภูมิการคำนวนของโปรแกรมคอมพิวเตอร์ที่สร้างขึ้น